

**ИССЛЕДОВАНИЕ ИЗМЕНЕНИЯ ЛИНЕЙНОГО И
НЕЛИНЕЙНОГО ПОКАЗАТЕЛЕЙ ПРЕЛОМЛЕНИЯ В
ЭЛЛИПСОИДАЛЬНОЙ КВАНТОВОЙ ТОЧКЕ,
ОБУСЛОВЛЕННОЕ БИЭКСИТОНОМ**

Ю.Ю. БЛЕЯН^{1,2*}

¹Российско–Армянский университет, Ереван, Армения

²Институт химической физики НАН РА, Ереван, Армения

* e-mail: yuri.bleyan@rau.am

(Поступила в редакцию 8 июня 2022 г.)

С помощью вариационного метода исследованы биэкситонные состояния основного и возбужденного уровней в GaAs сильно сплюснутой эллипсоидальной квантовой точке. Пробная вариационная волновая функция биэкситона сконструирована на одночастичных волновых функций, полученных в рамках геометрического адиабатического приближения. Получены энергии биэкситона от геометрических параметров эллипсоидальной квантовой точки как для основного, так и для возбужденных состояний. Рассчитаны линейный и нелинейный показатели преломления биэкситона для одно- и двухфотонных резонансов как реальные части нелинейной восприимчивости первого и третьего порядка, соответственно. Получены спектры изменения показателя преломления биэкситона для переходов между основными состояниями от энергии фотона при разных значениях малой полуоси эллипсоидальной квантовой точки.

1. Введение

Экситоны (X) и биэкситоны (XX) в полупроводниковых квантовых точках (КТ) исследовались как теоретически, так и экспериментально разными авторами [1–7]. Хорошо известно, что экситон представляет собой электронно–дырочную пару, а биэкситон состоит из двух экситонов. Таким образом, биэкситон представляет собой нейтральную систему, состоящую из четырех частиц, а именно двух дырок и двух электронов. Эти вышеупомянутые квазичастицы играют существенную роль в различных оптических эффектах, в частности, переход экситонов в биэкситоны приводит к интересным физическим явлениям [8–11].

Одним из интересных явлений, которые могут возникать в полупроводниковых структурах, является нелинейное оптическое поглощение в полупроводниковых КТ, которое резко усиливается на несколько порядков по сравнению с объемными полупроводниками [12–14]. Ожидается, что оптическая нелинейность, связанная с переходами между подуровнями экситонов и биэкситонов, будет использована для новых инфракрасных устройств. Поэтому очень важно

исследовать оптические свойства не только основного состояния, но и возбужденных состояний ограниченных экситонов или мультиэкситонов [15].

В дополнение, биэкситонное состояние имеет относительно более высокую силу осциллятора для двухфотонной генерации [8,16]. Следовательно, оптическая нелинейность должна усиливаться из-за увеличения силы осциллятора. С другой стороны, авторы в различных работах акцентируют внимание на нелинейных свойствах биэкситонов [17–21]. В частности, в [18] биэкситонные состояния обсуждались в рамках вариационного метода, где обсуждена оптическая нелинейность через экситонное и биэкситонное состояния на основе трех уровней и рассчитана восприимчивость третьего порядка. В [19] представлено теоретическое исследование линейных и нелинейных свойств на основе трехуровневой модели. Рассчитаны изменения показателя преломления вокруг одно-, двух- и трехфотонного резонансов. В продолжение, в [21] были рассмотрены нелинейные оптические свойства биэкситона в эллипсоидальной КТ. В частности, рассчитаны оптические восприимчивости третьего порядка и коэффициенты поглощения основного и возбужденного биэкситонов вокруг однофотонного и двухфотонного резонансов в зависимости от энергии фотонов в эллипсоидальной КТ.

Новые технологии делают возможным выращивание КТ различных типов и относительно простой и сложной геометрии. Есть множество работ, посвященных физическим и оптическим свойствам КТ [22–25]. Стоит отметить, что эллипсоидальная КТ является одним из примеров сложной геометрии. Такие КТ имеют широкое применение в тех случаях, когда необходимо управлять энергией в широком диапазоне, а это возможно сделать с помощью двух геометрических параметров эллипса (малая и большая полуоси). Стоит особо подчеркнуть тот факт, что теорема Кона реализуется в эллипсоидальных КТ как теоретически, так и экспериментально [26, 27]. Таким образом, теоретическое исследование нелинейных свойств биэкситонных комплексов в основном и возбужденном состояниях в эллипсоидальных КТ является актуальной задачей. Кроме того, следует отметить, что в этой работе будет рассматриваться особый тип эллипсоидальной КТ, а именно сильно сплюснутая эллипсоидальная КТ, где свойства экситона и биэкситона будут отмечены как двумерные.

В настоящей работе исследованы линейные и нелинейные показатели преломления первого и третьего порядка биэкситона в сильно сплюснутой эллипсоидальной КТ (ССЭКТ).

2. Теория

Как упоминалось выше, мы будем рассматривать ССЭКТ с непроницаемыми стенками, где ограничивающая потенциальная энергия частицы в цилиндрических координатах имеет следующий вид:

$$U_{\text{conf}}(\rho, \varphi, z) = \begin{cases} 0, & \frac{\rho^2}{a^2} + \frac{z^2}{c^2} \leq 1 \\ \infty, & \frac{\rho^2}{a^2} + \frac{z^2}{c^2} > 1 \end{cases}, \quad a \gg c, \quad (1)$$

где c и a – малая и большая полуоси ССЭКТ, соответственно.

Гамильтониан биэкситона имеет следующий вид:

$$\hat{H}_{XX}(\mathbf{r}_1, \mathbf{r}_2, \mathbf{r}_\alpha, \mathbf{r}_\beta) = \sum_j \frac{\hat{P}_j^2}{2m_j^*} + \sum_j U_{\text{conf}}(\mathbf{p}_j, z_j) + V_{\text{int}}(\mathbf{r}_1, \mathbf{r}_2, \mathbf{r}_\alpha, \mathbf{r}_\beta). \quad (2)$$

Здесь $j = \{1, 2, \alpha, \beta\}$, $i = \{1, \alpha\}$, \mathbf{r}_1 и \mathbf{r}_2 – координаты электронов, \mathbf{r}_α и \mathbf{r}_β – координаты дырок. В дополнение, $V_{\text{int}}(\mathbf{r}_1, \mathbf{r}_2, \mathbf{r}_\alpha, \mathbf{r}_\beta)$ – энергия межчастичных взаимодействий, включая взаимодействие между электронами, между дырками, а также взаимодействие между электронами и дырками. Это взаимодействие для биэкситона имеет следующий вид:

$$V_{\text{int}}(\mathbf{r}_1, \mathbf{r}_2, \mathbf{r}_\alpha, \mathbf{r}_\beta) = \frac{e^2}{\epsilon |\mathbf{r}_1 - \mathbf{r}_2|} + \frac{e^2}{\epsilon |\mathbf{r}_\alpha - \mathbf{r}_\beta|} - \frac{e^2}{\epsilon |\mathbf{r}_1 - \mathbf{r}_\alpha|} - \frac{e^2}{\epsilon |\mathbf{r}_1 - \mathbf{r}_\beta|} - \frac{e^2}{\epsilon |\mathbf{r}_2 - \mathbf{r}_\alpha|} - \frac{e^2}{\epsilon |\mathbf{r}_2 - \mathbf{r}_\beta|}. \quad (3)$$

Стоит особо отметить, что специфическая геометрия ССЭКТ позволяет использовать геометрическое адиабатическое приближение, в рамках которого можно показать, что из-за сплющенной геометрии эллипсоидальной КТ и сильного размерного квантования в аксиальном направлении задача имеет ярко выраженный двумерный характер [28]. Используя это обоснование, можно прийти к следующему двумерному уравнению Шредингера [21,28]:

$$\left[\sum_j \left(\frac{\hat{P}_{yj}^2}{2m_j^*} + \frac{\hat{P}_{xj}^2}{2m_j^*} \right) + \sum_j \frac{m_j^* \Omega_j^2}{2} \rho_j^2 + V_{\text{int}}^{2D}(\mathbf{p}_1, \mathbf{p}_2, \mathbf{p}_\alpha, \mathbf{p}_\beta) \right] \Psi_{XX}(\mathbf{p}_1, \mathbf{p}_2, \mathbf{p}_\alpha, \mathbf{p}_\beta) = E_{XX}^{2D} \Psi_{XX}(\mathbf{p}_1, \mathbf{p}_2, \mathbf{p}_\alpha, \mathbf{p}_\beta), \quad (4)$$

где $E_{XX}^{2D} = E_{XX} - \sum_j \frac{\pi^2 \hbar^2}{8m_j^* c^2}$ и $\Omega_j = \frac{\pi \hbar}{2m_j^* ac}$ – частота параболического ограничивающего потенциала.

Задача нахождения энергии биэкситона была решена в рамках вариационного метода, где вариационная волновая функция биэкситона сконструирована на одночастичных волновых функций, аналитические виды которых были получены в рамках геометрического адиабатического приближения [25].

И так, волновая функция и энергия для одночастичной задачи в ССЭКТ имеют следующий вид, соответственно [25]:

$$\Psi(\rho, \varphi, z) = \frac{e^{im\varphi}}{\sqrt{2\pi}} \left(c \sqrt{1 - \frac{\rho^2}{a^2}} \right)^{-1/2} \sin \left(\frac{\pi n}{2c \sqrt{1 - \rho^2/a^2}} z + \frac{\pi n}{2} \right) \quad (5)$$

$$\times \sqrt{\frac{2m_e^* \Omega_e}{\hbar}} \frac{\sqrt{n_r}! \Gamma(|m|+1)}{\Gamma^{3/2}(|m|+1+n_r)} e^{-\frac{m_e^* \Omega_e \rho^2}{2\hbar}} \left(\frac{m_e^* \Omega_e}{\hbar} \rho^2 \right)^{|m|/2} {}_1F_1 \left\{ -n_r, |m|+1; \frac{m_e^* \Omega_e}{\hbar} \rho^2 \right\},$$

$$E = \frac{\pi^2 \hbar^2 n^2}{8m_e^* c^2} + \frac{\pi \hbar^2 n}{2m_e^* ac} (N+1), \quad N = 0, 1, 2, \dots \quad (6)$$

Здесь m , n и n_r – квантовые числа, описывающие систему. В частности,

m – магнитное квантовое число, n – аксиальное квантовое число, n_r – радиальное квантовое число, $N = 2n_r + |m|$ – главное квантовое число, а ${}_1F_1\{a,b;x\}$ является вырожденной гипергеометрической функцией первого рода. Стоит отметить, что мы будем рассматривать возбужденные уровни биэкситона только по радиальному квантовому числу.

С помощью вариационного метода проведем расчеты энергии биэкситона для основного и возбужденного уровней. Вариационная волновая функция имеет вид [8]:

$$\Psi_{XX}(\mathbf{p}_1, \mathbf{p}_2, \mathbf{p}_\alpha, \mathbf{p}_\beta) = C \psi_{100}(\mathbf{p}_1) \psi_{100}(\mathbf{p}_2) \psi_{100}(\mathbf{p}_\alpha) \psi_{100}(\mathbf{p}_\beta) \\ \times e^{-\gamma p_{\alpha\beta}} \left\{ e^{-\lambda(p_{1\alpha}+p_{2\beta})-\delta(p_{1\beta}+p_{2\alpha})} + e^{-\lambda(p_{1\beta}+p_{2\alpha})-\delta(p_{1\alpha}+p_{2\beta})} \right\}, \quad (7)$$

где C – нормировочная константа, $p_{jk} = |\mathbf{p}_j - \mathbf{p}_k|$, $j, k = \{1, 2, \alpha, \beta\}$, λ , δ , и γ – вариационные параметры, которые определяются после минимизации следующего интеграла:

$$E_{XX} = \langle \Psi_{XX}(\mathbf{r}_1, \mathbf{r}_2, \mathbf{r}_\alpha, \mathbf{r}_\beta) | \hat{H}_{XX} | \Psi_{XX}(\mathbf{r}_1, \mathbf{r}_2, \mathbf{r}_\alpha, \mathbf{r}_\beta) \rangle. \quad (8)$$

Поскольку волновые функции и энергетические спектры для биэкситона получены, в качестве следующего шага можно исследовать силу осциллятора перехода из экситонного в биэкситонное состояние и силу осциллятора из экситонного в основное состояние. Силы этих осцилляторов можно определить по формуле [8,21]:

$$f_{be} = \frac{2}{m_0 \hbar \omega_{be}} |\langle XX | p | X \rangle|^2 \\ f_{eg} = \frac{2}{m_0 \hbar \omega_{eg}} |\langle X | p | 0 \rangle|^2, \quad (9)$$

где $|XX\rangle$ и $|X\rangle$ обозначают биэкситонное и экситонное состояния соответственно; m_0 – масса свободного электрона; p – оператор импульса; $\hbar \omega_{be}$ и $\hbar \omega_{eg}$ – энергия перехода из экситонного в биэкситонное состояние и энергия экситона соответственно. Стоит отметить, что для удобства в формуле (9) использованы специальные обозначения: b будет соответствовать биэкситонному уровню; e – для экситонного уровня, а g – для основного состояния (g соответствует случаю, когда в КТ нет частиц).

Теперь перейдем к обсуждению нелинейных свойств биэкситона, в частности, нелинейного показателя преломления. Линейная и третья нелинейная восприимчивости определяются по формулам [19,21]:

$$\chi^{(1)}(\omega_2) = \frac{|\mu_{eg}|^2}{\hbar} \left(\frac{1}{(\hbar\omega_{eg} - \hbar\omega_2 - i\hbar\Gamma_{eg})} + \frac{1}{(\hbar\omega_{eg} + \hbar\omega_2 + i\hbar\Gamma_{eg})} \right) \\ \times \frac{|\mu_{be}|^2}{\hbar} \left(\frac{1}{(\hbar\omega_{be} - \hbar\omega_2 - i\hbar\Gamma_{be})} + \frac{1}{(\hbar\omega_{be} + \hbar\omega_2 + i\hbar\Gamma_{be})} \right), \quad (10)$$

$$\chi^{(3)}(2\omega_1 - \omega_2; -\omega_1, -\omega_1, \omega_2) = -\frac{i|\mu_{eg}|^4}{2} \frac{1}{i(\hbar\omega_{eg} - 2\hbar\omega_1 + \hbar\omega_2) + \hbar\Gamma_{eg}} \frac{1}{i(\hbar\omega_2 - \hbar\omega_1) + \hbar\Gamma_e} \times \\ \times \left(\frac{1}{i(\hbar\omega_{eg} - \hbar\omega_1) + \hbar\Gamma_{eg}} + \frac{1}{i(\hbar\omega_2 - \hbar\omega_{eg}) + \hbar\Gamma_{eg}} \right) + \frac{i|\mu_{eg}|^2 |\mu_{be}|^2}{4} \frac{1}{i(\hbar\omega_{be} - 2\hbar\omega_1 + \hbar\omega_2) + \hbar\Gamma_{be}} \times \\ \times \frac{1}{i(\hbar\omega_2 - \hbar\omega_1) + \hbar\Gamma_e} \times \left(\frac{1}{i(\hbar\omega_{eg} - \hbar\omega_1) + \hbar\Gamma_{eg}} + \frac{1}{i(\hbar\omega_2 - \hbar\omega_{eg}) + \hbar\Gamma_{eg}} \right) - \\ - \frac{i|\mu_{eg}|^2 |\mu_{be}|^2}{4} \frac{1}{i(\hbar\omega_{eg} - 2\hbar\omega_1 + \hbar\omega_2) + \hbar\Gamma_{eg}} \frac{1}{i(\hbar\omega_{bg} - 2\hbar\omega_1) + \hbar\Gamma_{bg}} \times \left(\frac{1}{i(\hbar\omega_{eg} - \hbar\omega_1) + \hbar\Gamma_{eg}} \right) + \\ + \frac{i|\mu_{eg}|^2 |\mu_{be}|^2}{4} \frac{1}{i(\hbar\omega_{be} - 2\hbar\omega_1 + \hbar\omega_2) + \hbar\Gamma_{be}} \frac{1}{i(\hbar\omega_{bg} - 2\hbar\omega_1) + \hbar\Gamma_{bg}} \times \left(\frac{1}{i(\hbar\omega_{eg} - \hbar\omega_1) + \hbar\Gamma_{eg}} \right), \quad (11)$$

где $\hbar\omega_1$ и $\hbar\omega_2$ – энергии первого и второго фотонов, $\hbar\omega_{ij}$ и $\hbar\Gamma_{ij}$ – разность энергий между уровнями i и j и скорость дефазировки дипольного момента перехода, соответственно, Γ_e – скорость распада экситонного состояния, которая обратно пропорциональна радиационному времени жизни. μ_{ij} – это дипольный момент перехода между уровнями i и j , который связан с силой осциллятора соотношением:

$$\mu_{ij}^2 = \frac{\hbar e^2}{2m_0\omega_{ij}} f_{ij}. \quad (12)$$

Далее будем рассматривать случай, когда два фотона имеют одинаковую энергию $\hbar\omega_1 = \hbar\omega_2 \equiv \hbar\omega$.

Соответствующие линейные и нелинейные показатели преломления первого и третьего порядка получаются следующим образом [19]:

$$\frac{\Delta n^{(1)}}{n_r} = \text{Re} \left(\frac{\chi^{(1)}(\omega)}{2\epsilon_0 n_r^2} \right), \quad (13) \\ \frac{\Delta n^{(3)}}{n_r} = \text{Re} \left(\frac{\chi^{(3)}(\omega) I(\omega)}{4\epsilon_0^2 n_r^3 c} \right),$$

где n_r – показатель преломления, $I(\omega)$ – интенсивность падающего света, ϵ_0 – линейная восприимчивость и c – скорость света. Общее изменение показателя преломления можно записать как [29]

$$\frac{\Delta n}{n_r} = \frac{\Delta n^{(1)}}{n_r} + \frac{\Delta n^{(3)}}{n_r}. \quad (14)$$

Для исследования нелинейных свойств биэкситона ограничимся случаем трехуровневой модели, где рассматриваются только первые три уровня экситона и биэкситона.

3. Обсуждение результатов

Перейдем к обсуждению полученных результатов. Стоит отметить, что все полученные результаты сделаны для GaAs. Материальные параметры для GaAs следующие [30]: $m_e^* = 0.067m_0$, $m_h^* = 0.45m_0$, $n_r = 3.2$, $a_B^{\text{eff}} = 10.4 \text{ nm}$, $E_R^{\text{eff}} = 5.275 \text{ meV}$, $\epsilon_0 = 12.91$.

На рис.1 представлена диаграмма энергетических уровней с соответствующими переходами из биэкситонных состояний в экситонные и из экситонных состояний в основное состояние.

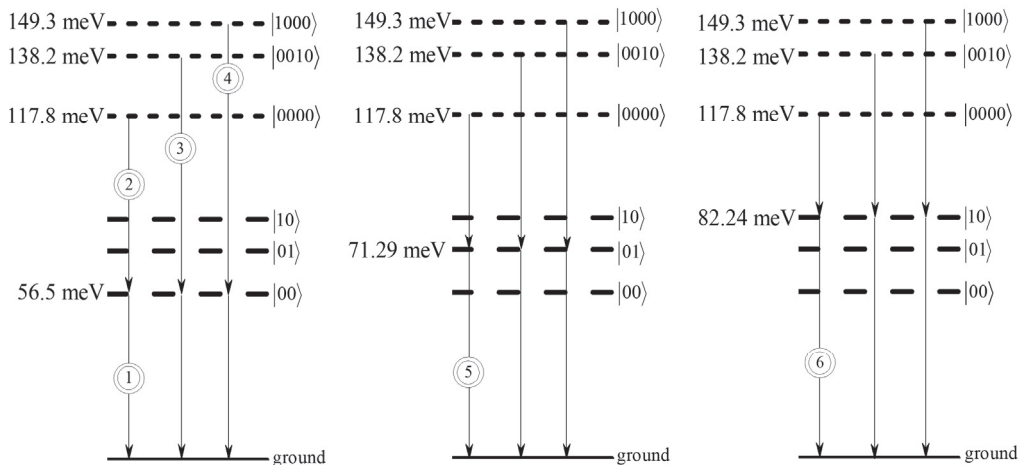


Рис.1. Диаграмма переходов для биэкситона, экситона и основного состояния. Геометрические параметры эллипсоидальной КТ выбраны следующие: $c = 5 \text{ nm}$ и $a = 50 \text{ nm}$.

На энергетических диаграммах использованы следующие обозначения: $|ij\rangle \rightarrow e^i h^j$ для экситона и $|ijkl\rangle \rightarrow e^i e^j h^k h^l$ для биэкситона, где $i, j, k, l = \{0, 1, 2, \dots\}$ – номер уровня частицы. Из диаграммы следует, что первое возбужденное состояние биэкситона обусловлено возбужденной дыркой, а состояние, соответствующее возбужденному состоянию электрона, находится выше. Схема этих переходов с соответствующими им энергиями использовалась впоследствии для получения оптических явлений для одно- и двухфотонного резонансов. Переходы, используемые в дальнейших расчетах, перечислены на рис.1.

На рис.2 представлены зависимости изменения показателя преломления биэкситона Δn от энергии фотона для однофотонного резонанса $\omega = \omega_{eg}$, для однофотонного резонанса $\omega = \omega_{be}$, для двухфотонного резонанса $\omega = \omega_{bg}$, а также полного показателя преломления биэкситона от энергии фотона при фиксированных значениях полуосей эллипсоидальной КТ.

Из рисунка следует, что показатель преломления меняет знак с положительного на отрицательный для всех случаев. Следует отметить, что нелинейный показатель преломления $\Delta n^{(3)}$ меняет свой знак с отрицательного на положительный, однако линейный показатель преломления $\Delta n^{(1)}$ имеет противоположное

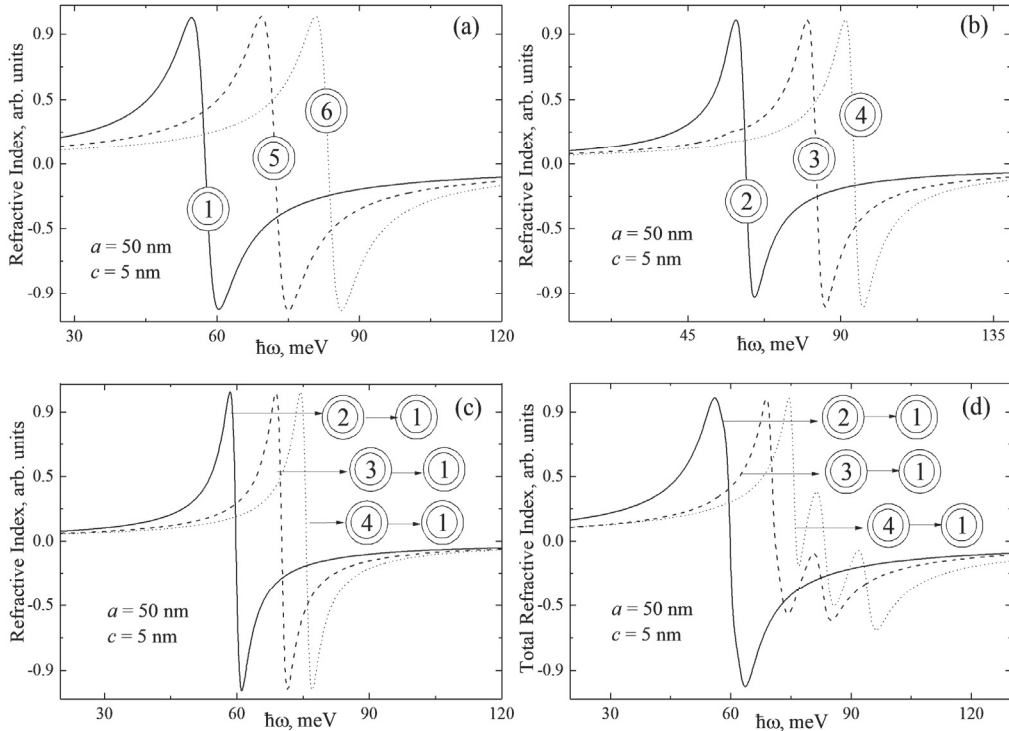


Рис.2. Зависимости изменения показателя преломления биэкситона Δn для основного и возбужденного уровней от энергии фотона: (а) – для однофотонного резонанса $\omega = \omega_{eg}$; (б) – для однофотонного резонанса $\omega = \omega_{be}$; (с) – для двухфотонного резонанса $\omega = \omega_{bg}$; (д) – зависимость полного показателя преломления от энергии фотона.

поведение. Это приводит к изменению показателя преломления Δn с положительного на отрицательный. В дополнение, из рисунка 2а следует, что показатели преломления биэкситона для основного и возбужденного уровней имеют одинаковые пики, однако спектры показателя преломления для возбужденных уровней смещены в сторону более высоких энергий. Такое же поведение можно найти и на рис.2б–2д. Кроме того, спектры показателя преломления для переходов $|01\rangle$ и $|10\rangle$ имеют несколько пиков. Это можно объяснить тем, что различия между энергетическими уровнями играют роль в полной энергии, что, в свою очередь, приводит к существованию многих пиков.

На рис.3 построены те же зависимости, что и на рис.2, но для переходов между основными состояниями при разных значениях малой полуоси эллипсоидальной КТ.

Как видно из рис.3а, положение пика показателя преломления смещается в красную сторону с увеличением малого геометрического параметра эллипсоидальной КТ. Это связано с тем, что увеличение размера КТ приводит к уменьшению энергии экситона и биэкситона, вызванному ослаблением электронно-дырочного кулоновского взаимодействия. Аналогичное поведение смещения пиков можно найти и на рис.3б–3д.

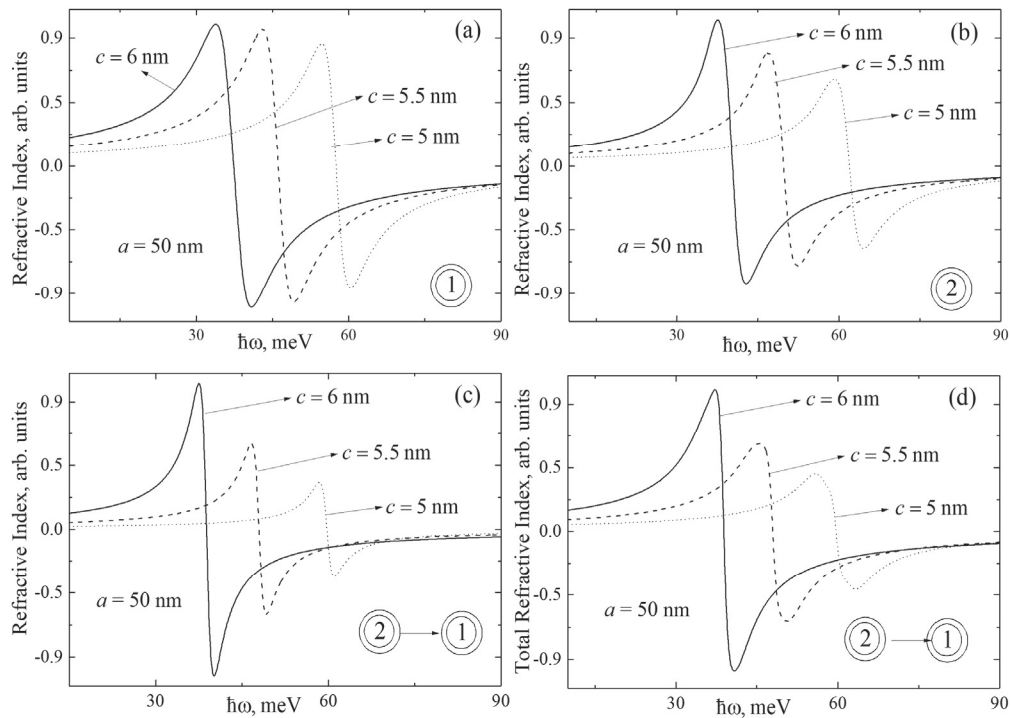


Рис.3. Зависимости изменения показателя преломления биэкситона Δn для переходов между основными состояниями от энергии фотона при разных значениях малой полуоси эллипсоидальной КТ: (а) – для однофотонного резонанса $\omega = \omega_{eg}$; (б) – для однофотонного резонанса $\omega = \omega_{be}$; (с) – для двухфотонного резонанса $\omega = \omega_{bg}$; (д) – зависимость полного показателя преломления от энергии фотона.

Следует отметить, что зависимость изменения показателя преломления от малой полуоси сильнее, так как размерное квантование в аксиальном направлении преобладает над радиальным. Из-за этого на рисунках приведены только зависимости для различных значениях малой полуоси эллипсоидальной КТ.

4. Заключение

В данной работе в рамках вариационного метода рассчитаны энергии биэкситонных состояний основного и возбужденного уровней в GaAs эллипсоидальных КТ. Пробные вариационные функции построены на основе одночастичной волновой функции, имеющей три вариационных параметра для биэкситона. Для простоты рассмотрены только первые три энергетических уровня экситона и биэкситона, чтобы построить квантовые переходы между этими квазичастицами. Получены соответствующие силы осцилляторов экситонных переходов, а именно для переходов биэкситон-экситон и экситон-основное состояние. Получены зависимости спектров изменения показателя преломления биэкситона от энергии фотона для однофотонных резонансов $\omega = \omega_{eg}$ и $\omega = \omega_{be}$, а также для двухфотонного резонанса $\omega = \omega_{bg}$. Было показано, что показатели преломления

бизекситона для основного и возбужденного уровней имеют одинаковые пики, однако спектры показателя преломления для возбужденных уровней смещены в сторону более высоких энергий. Кроме того, спектры показателя преломления для переходов $|01\rangle$ и $|10\rangle$ имеют несколько пиков. Было получено, что положение пика показателя преломления смещается в красную сторону с увеличением малого геометрического параметра эллипсоидальной КТ. Этот эффект можно объяснить тем, что с увеличением малой полуоси энергии экситона и бизекситона уменьшаются, а это уменьшение вызвано ослаблением электронно-дырочного кулоновского взаимодействия.

Исследование было проведено в рамках программы Faculty Research Funding, реализуемой фондом Enterprise Incubator Foundation (EIF) при поддержке PMI Science.

ЛИТЕРАТУРА

1. M. Nasilowski, P. Spinicelli, G. Patriarche, B. Dubertret. *Nano letters*, **15**, 3953 (2015).
2. D.B. Hayrapetyan. *J. Contemp. Phys.*, **42**, 292 (2007).
3. A.K. Atayan, E.M. Kazaryan, A.V. Meliksetyan, H.A. Sarkisyan. *J. Contemp. Phys.*, **45**, 126 (2010).
4. Y.Y. Bleyan, D.B. Hayrapetyan. *Physica B: Cond. Matter*, **632**, 413725 (2022).
5. G. Chen, T.H. Stievater, E.T. Batteh, X. Li, D.G. Steel, D. Gammon, D.S. Katzer, D. Park, L.J. Sham. *Phys. Rev. Letters*, **88**, 117901 (2002).
6. J.M. Villas-Bôas, S.E. Ulloa, A.O. Govorov. *Phys. Rev. Letters*, **94**, 057404 (2005).
7. D.B. Hayrapetyan. *Foundations*, **2**, 219 (2022).
8. T. Takagahara. *Phys. Rev. B*, **39**, 10206 (1989).
9. H. Wang, J. Shah, T.C. Damen, L.N. Pfeiffer. *Solid State Commun.*, **91**, 869 (1994).
10. S. Baskoutas, A.F. Terzis. *J. Appl. Phys.*, **98**, 044309 (2005).
11. K. Brunner, G. Abstreiter, G. Böhm, G. Tränkle, G. Weimann. *Phys. Rev. Lett.*, **73**, 1138 (1994).
12. J. He, W. Ji, J. Mi, Y. Zheng, J.Y. Ying. *Appl. Phys. Lett.*, **88**, 181114 (2006).
13. Y.C. Ker, J.H. Lin, W.F. Hsieh. *Japan. J. Appl. Phys.*, **42**, 1258 (2003).
14. I. Gerdova, A. Haache. *Opt. Commun.*, **26**, 205 (2005).
15. H. Kamada, H. Ando, J. Temmyo, T. Tamamura. *Phys. Rev. B*, **58**, 16243 (1998).
16. E. Hanamura. *Solid State Commun.*, **88**, 1073 (1993).
17. I. Abram. *Phys. Rev. B*, **28**, 4433 (1983).
18. S. Shojaei, A. Asgari, M. Kalafi. *Eur. Phys. J. B*, **72**, 211 (2009).
19. S. Shojaei. *Superlattices Microstruct.*, **82**, 357 (2015).
20. W. Xie. *Phys. B, Condens. Matter*, **407**, 2329 (2012).
21. Y.Y. Bleyan, P.A. Mantashyan, E.M. Kazaryan, H.A. Sarkisyan, G. Accorsi, S. Baskoutas, D.B. Hayrapetyan. *Nanomaterials*, **12**(9), 1412 (2022).
22. H.A. Sarkisyan. *Mod. Phys. Lett. B*, **18**, 443 (2004).
23. E.C. Niculescu, D. Bejan. *Phys. E: Low-Dimens. Syst. Nanostructures*, **74**, 51 (2015).
24. K.G. Dvoyan, D.B. Hayrapetyan, E.M. Kazaryan, A.A. Tshantshapanyan. *Nanoscale Res. Lett.*, **2**, 601 (2007).
25. D.B. Hayrapetyan, K.G. Dvoyan, E.M. Kazaryan. *J. Contemp. Phys.*, **42**, 151 (2007).

26. **D.B. Hayrapetyan, E.M. Kazaryan, H.A. Sarkisyan.** Physica E: Low-Dimens. Syst. Nanostructures, **75**, 353 (2016).
27. **H.A. Sarkisyan, D.B. Hayrapetyan, L.S. Petrosyan, E.M. Kazaryan, A.N. Sofronov, R.M. Balagula, D.A. Firsov, L.E. Vorobjev, A.A. Tonkikh.** Nanomaterials, **9**, 56 (2019).
28. **D.B. Hayrapetyan, Y.Y. Bleyan, D.A. Baghdasaryan, H.A. Sarkisyan, S. Baskoutas, E.M. Kazaryan.** Physica E: Low-dimensional Systems and Nanostructures, **105**, 47 (2019).
29. **W. Xie.** Physica E: Low-dimensional Systems and Nanostructures, **43**, 1704 (2011).
30. **E. Rosenthaler, B. Vinter.** Optoelectronics, UK, Cambridge: Cambridge University Press, 2002.

**ԲԻԷՔՍԻՏՈՆՈՎ ՊԱՅՄԱՆԱՎՈՐՎԱԾ ԳԾԱՅԻՆ ԵՎ ՈՉ ԳԾԱՅԻՆ ԲԵԿՍԱՆ
ՑՈՒՑԻՉՆԵՐԻ ՓՈՓՈԽՄԱՆ ՈՒՍՈՒՄՆԱՍԻՐՈՒՄԸ ԷԼԻՊՍԱՐԴԱՅԻՆ
ՔՎԱՆՏԱՅԻՆ ԿԵՏՈՒՄ**

3.3. ԲԼԵՅԱՆ

Կարիացին մեթոդի շրջանակներում հետազոտվել են բիէքսիտոնային վիճակները GaAs խիստ սեղմված էլիպսարդային քվանտային կետում հիմնական և գրգռված վիճակների համար: Բիէքսիտոնի փորձնական վարիացիոն ալիքային ֆունկցիան կառուցված է մեկմասնիկային ալիքային ֆունկցիաների վրա, որոնք ստացվել են երկրաչափական աղիաբատական մոտավորության շրջանակներում: Ստացվել են բիէքսիտոնի էներգիայի կախվածությունները էլիպսարդային քվանտային կետի տարրեր երկրաչափական պարամետրերից ինչպես հիմնական, այնպես էլ գրգռված վիճակների համար: Հաշվարկվել են բիէքսիտոնի գծային և ոչ գծային բեկման ցուցիչները մեկ- և երկֆուտոնային ռեզոնանսների համար ինչպես գծային առաջին կարգի և ոչ գծային երրորդ կարգի ընկալունակությունների իրական մասեր: Ստացվել են բիէքսիտոնի բեկման ցուցիչի փոփոխության սպեկտրերը մեկ- և երկֆուտոնային ռեզոնանսների համար հիմնական վիճակների միջև անցումների համար էլիպսարդային քվանտային կետի փոքր կիսառանցքի տարրեր արժեքների դեպքում:

INVESTIGATION OF BIEXCITON INDUCED LINEAR AND NONLINEAR REFRACTIVE INDEX CHANGES IN ELLIPSOIDAL QUANTUM DOT

Y.Y. BLEYAN

The biexciton states of the ground and excited levels in a GaAs strongly oblate ellipsoidal quantum dot are studied in the framework of the variational method. The trial variational wave function of the biexciton is constructed on the basis of single-particle wave functions, obtained in the scope of the adiabatic approximation. The biexciton energies for both ground and excited levels as a function of the ellipsoidal quantum dot's small semiaxis are obtained. The linear and nonlinear refractive indexes of the biexciton around one- and two-photon resonances are calculated as real parts of the first- and third-order nonlinear susceptibilities, respectively. The spectra of changes of the biexciton refractive index for transitions between ground states as a function of the photon energy are obtained for different values of the small semiaxis of the ellipsoidal quantum dot.